

### Eingabe: Farbmétrisches Offset-Reflektiv-System ORS18

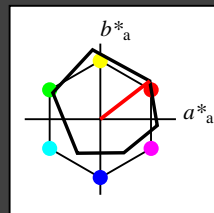
für Buntton  $h^* = lab^*h = 38/360 = 0.105$

$lab^*tch$  und  $lab^*nch$

D65: Buntton O

LCH\*Ma: 48 83 38

olv\*Ma: 1.0 0.0 0.0



### ORS18; adaptierte CIELAB-Daten

	$L^*=L^*_a$	$a^*_a$	$b^*_a$	$C^*_{ab,a}$	$h^*_{ab,a}$
O <sub>m</sub>	47.94	65.39	50.52	82.63	38
Y <sub>m</sub>	90.37	-10.26	91.75	92.32	96
L <sub>m</sub>	50.9	-62.83	34.96	71.91	151
C <sub>m</sub>	58.62	-30.34	-45.01	54.3	236
V <sub>m</sub>	25.72	31.1	-44.4	54.22	305
M <sub>m</sub>	48.13	75.28	-8.36	75.74	354
N <sub>m</sub>	18.01	0.0	0.0	0.0	0
W <sub>m</sub>	95.41	0.0	0.0	0.0	0
R <sub>CIE</sub>	39.92	58.66	26.98	64.57	25
J <sub>CIE</sub>	81.26	-2.16	67.76	67.79	92
G <sub>CIE</sub>	52.23	-42.25	11.76	43.87	164
B <sub>CIE</sub>	30.57	1.15	-46.84	46.86	271

Dreiecks-Helligkeit  $t^*$

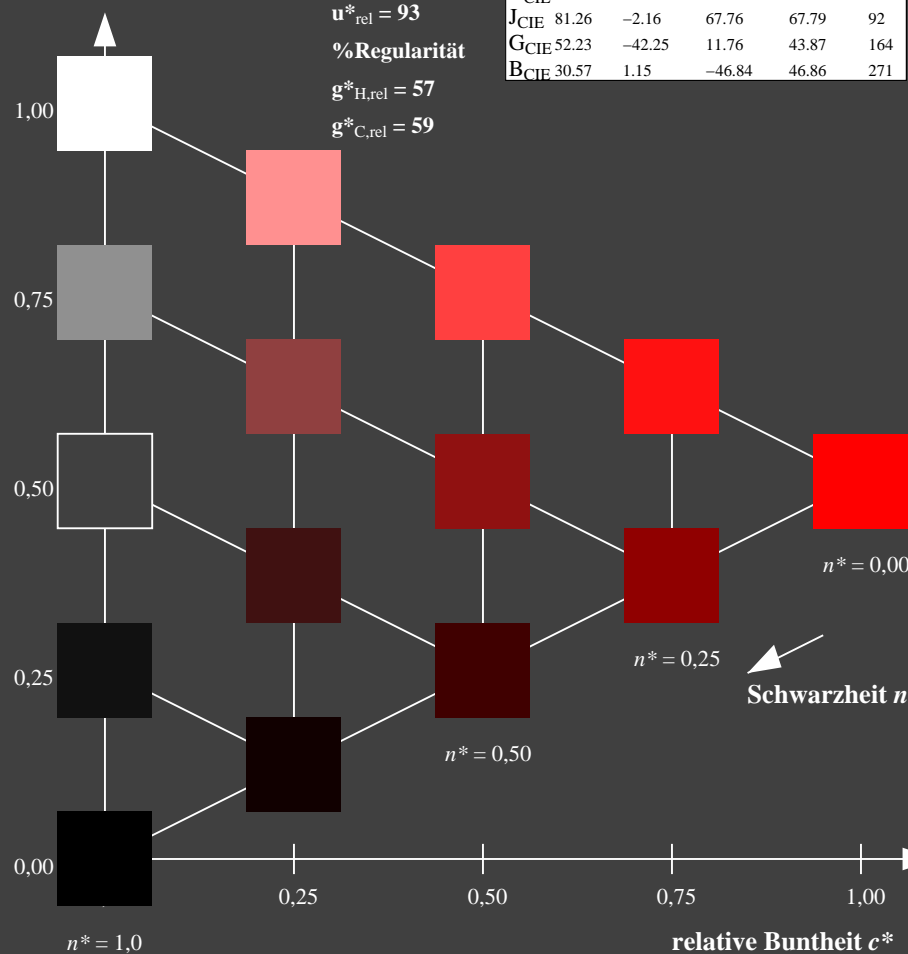
%Umfang

$u^*_{rel} = 93$

%Regularität

$g^*_{H,rel} = 57$

$g^*_{C,rel} = 59$



NG220-7, 5 stufige Reihen für konstanten CIELAB Buntton 38/360 = 0.105 (links)

### Ausgabe: Farbmétrisches Standard-Reflektiv-System SRS18

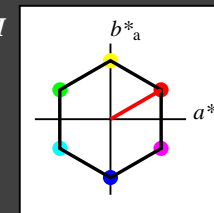
für Buntton  $h^* = lab^*h = 30/360 = 0.083$

$LAB^*LCH$ ,  $LAB^*NCH$

D65: Buntton O

LCH\*Ma: 57 77 30

olv\*Ma: 1.0 0.0 0.0



### SRS18; adaptierte CIELAB-Daten

	$L^*=L^*_a$	$a^*_a$	$b^*_a$	$C^*_{ab,a}$	$h^*_{ab,a}$
O <sub>m</sub>	56.71	67.03	38.7	77.4	30
Y <sub>m</sub>	56.71	0.0	77.4	77.4	90
L <sub>m</sub>	56.71	-67.02	38.7	77.4	150
C <sub>m</sub>	56.71	-67.02	-38.69	77.4	210
V <sub>m</sub>	56.71	0.0	-77.39	77.4	270
M <sub>m</sub>	56.71	67.03	-38.69	77.4	330
N <sub>m</sub>	18.01	0.0	0.0	0.0	0
W <sub>m</sub>	95.41	0.0	0.0	0.0	0
R <sub>CIE</sub>	39.92	58.74	27.99	65.07	25
J <sub>CIE</sub>	81.26	-2.88	71.56	71.62	92
G <sub>CIE</sub>	52.23	-42.41	13.6	44.55	162
B <sub>CIE</sub>	30.57	1.41	-46.46	46.49	272

CIELAB-Helligkeit  $L^*$

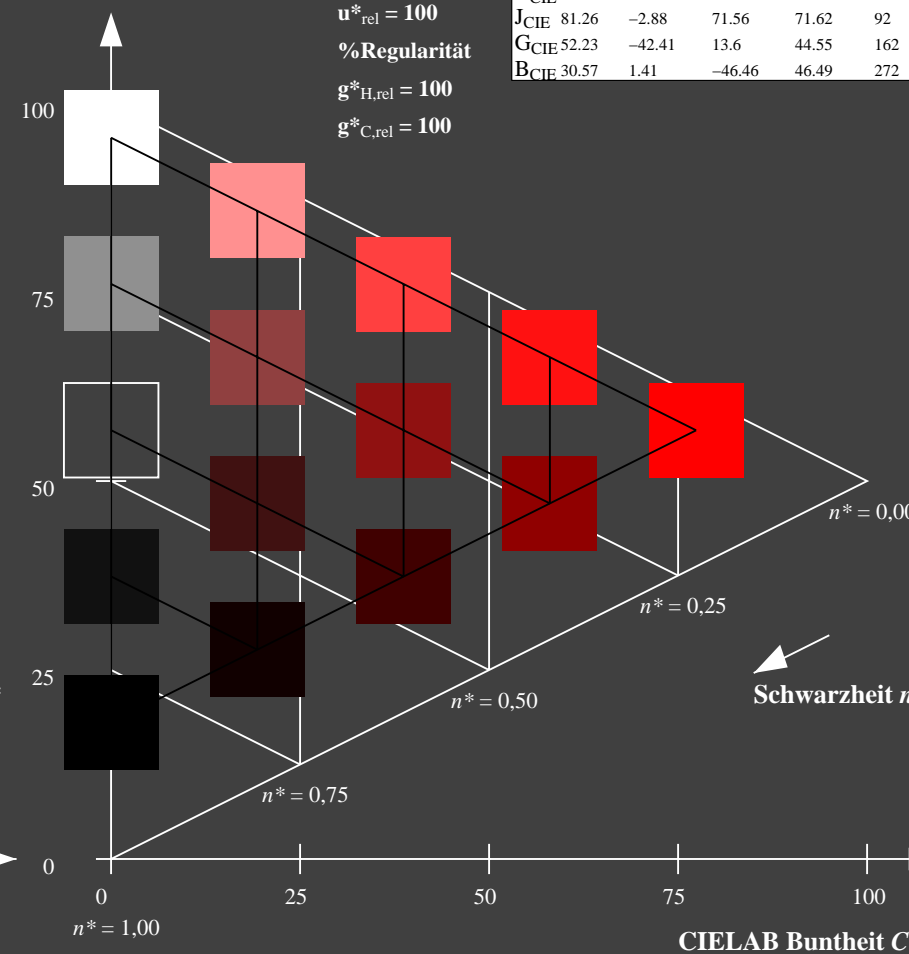
%Umfang

$u^*_{rel} = 100$

%Regularität

$g^*_{H,rel} = 100$

$g^*_{C,rel} = 100$



5 stufige Reihen für konstanten CIELAB Buntton 30/360 = 0.083 (rechts)

BAM-Prüfvorlage NG22; Farbmétrik-Systeme ORS18 & SRS18 input:  $olv^*setrgbcolor$

D65: Koordinatensysteme; 5stufige Farbreihen für 10 Bunttöne output:  $olv^*setrgbcolor / w^*setgray$

### Eingabe: Farbmimetrisches Offset-Reflektiv-System ORS18

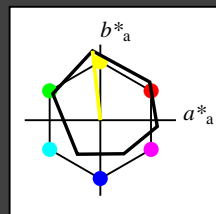
für Buntton  $h^* = lab^*h = 96/360 = 0.268$

$lab^*tch$  und  $lab^*nch$

D65: Buntton Y

LCH\*Ma: 90 92 96

olv\*Ma: 1.0 1.0 0.0



#### ORS18; adaptierte CIELAB-Daten

	$L^*=L^*_a$	$a^*_a$	$b^*_a$	$C^*_{ab,a}$	$h^*_{ab,a}$
O <sub>m</sub>	47.94	65.39	50.52	82.63	38
Y <sub>m</sub>	90.37	-10.26	91.75	92.32	96
L <sub>m</sub>	50.9	-62.83	34.96	71.91	151
C <sub>m</sub>	58.62	-30.34	-45.01	54.3	236
V <sub>m</sub>	25.72	31.1	-44.4	54.22	305
M <sub>m</sub>	48.13	75.28	-8.36	75.74	354
N <sub>m</sub>	18.01	0.0	0.0	0.0	0
W <sub>m</sub>	95.41	0.0	0.0	0.0	0
R <sub>CIE</sub>	39.92	58.66	26.98	64.57	25
J <sub>CIE</sub>	81.26	-2.16	67.76	67.79	92
G <sub>CIE</sub>	52.23	-42.25	11.76	43.87	164
B <sub>CIE</sub>	30.57	1.15	-46.84	46.86	271

Dreiecks-Helligkeit  $t^*$

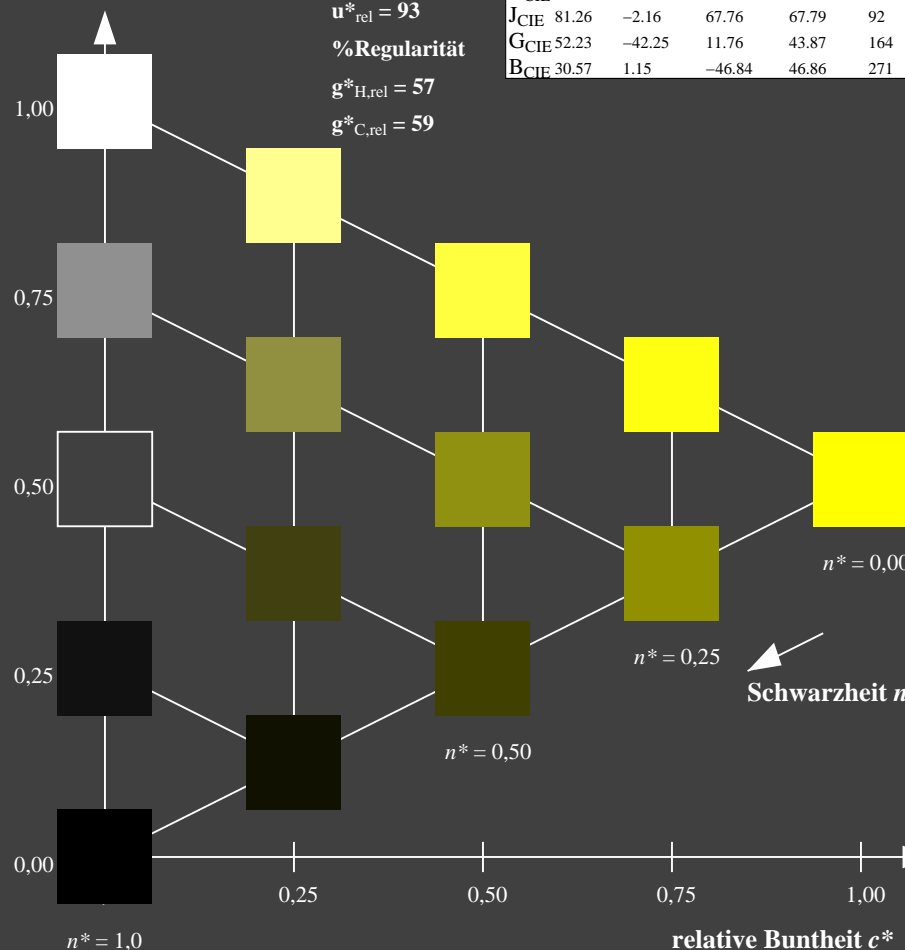
%Umfang

$u^*_{rel} = 93$

%Regularität

$g^*_{H,rel} = 57$

$g^*_{C,rel} = 59$



NG220-7, 5 stufige Reihen für konstanten CIELAB Buntton 96/360 = 0.268 (links)

### Ausgabe: Farbmimetrisches Standard-Reflektiv-System SRS18

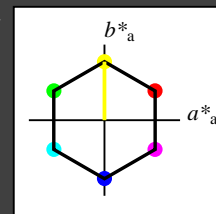
für Buntton  $h^* = lab^*h = 90/360 = 0.25$

$LAB^*LCH$ ,  $LAB^*NCH$

D65: Buntton Y

LCH\*Ma: 57 77 90

olv\*Ma: 1.0 1.0 0.0



#### SRS18; adaptierte CIELAB-Daten

	$L^*=L^*_a$	$a^*_a$	$b^*_a$	$C^*_{ab,a}$	$h^*_{ab,a}$
O <sub>m</sub>	56.71	67.03	38.7	77.4	30
Y <sub>m</sub>	56.71	0.0	77.4	77.4	90
L <sub>m</sub>	56.71	-67.02	38.7	77.4	150
C <sub>m</sub>	56.71	-67.02	-38.69	77.4	210
V <sub>m</sub>	56.71	0.0	-77.39	77.4	270
M <sub>m</sub>	56.71	67.03	-38.69	77.4	330
N <sub>m</sub>	18.01	0.0	0.0	0.0	0
W <sub>m</sub>	95.41	0.0	0.0	0.0	0
R <sub>CIE</sub>	39.92	58.74	27.99	65.07	25
J <sub>CIE</sub>	81.26	-2.88	71.56	71.62	92
G <sub>CIE</sub>	52.23	-42.41	13.6	44.55	162
B <sub>CIE</sub>	30.57	1.41	-46.46	46.49	272

CIELAB-Helligkeit  $L^*$

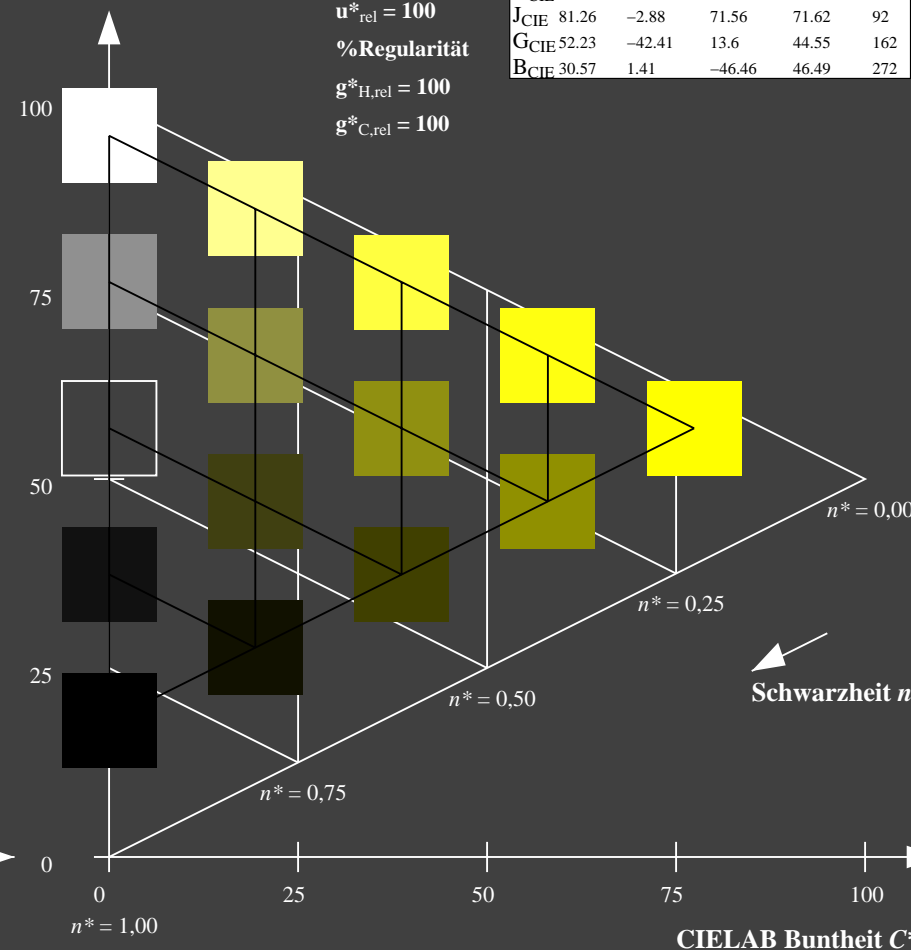
%Umfang

$u^*_{rel} = 100$

%Regularität

$g^*_{H,rel} = 100$

$g^*_{C,rel} = 100$



5 stufige Reihen für konstanten CIELAB Buntton 90/360 = 0.25 (rechts)

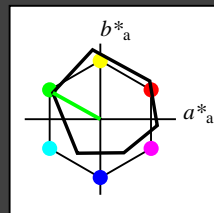
BAM-Prüfvorlage NG22; Farbmimetrik-Systeme ORS18 & SRS18 input: olv\* setrgbcolor

D65: Koordinatensysteme; 5stufige Farbreihen für 10 Bunttöne output: olv\* setrgbcolor / w\* setgray

### Eingabe: Farbmimetrisches Offset-Reflektiv-System ORS18

für Buntton  $h^* = lab^*h = 151/360 = 0.419$   
 $lab^*tch$  und  $lab^*nch$

D65: Buntton L  
LCH\*Ma: 51 72 151  
olv\*Ma: 0.0 1.0 0.0



ORS18; adaptierte CIELAB-Daten					
	$L^*=L^*_a$	$a^*_a$	$b^*_a$	$C^*_{ab,a}$	$h^*_{ab,a}$
O <sub>m</sub>	47.94	65.39	50.52	82.63	38
Y <sub>m</sub>	90.37	-10.26	91.75	92.32	96
L <sub>m</sub>	50.9	-62.83	34.96	71.91	151
C <sub>m</sub>	58.62	-30.34	-45.01	54.3	236
V <sub>m</sub>	25.72	31.1	-44.4	54.22	305
M <sub>m</sub>	48.13	75.28	-8.36	75.74	354
N <sub>m</sub>	18.01	0.0	0.0	0.0	0
W <sub>m</sub>	95.41	0.0	0.0	0.0	0
R <sub>CIE</sub>	39.92	58.66	26.98	64.57	25
J <sub>CIE</sub>	81.26	-2.16	67.76	67.79	92
G <sub>CIE</sub>	52.23	-42.25	11.76	43.87	164
B <sub>CIE</sub>	30.57	1.15	-46.84	46.86	271

Dreiecks-Helligkeit  $t^*$

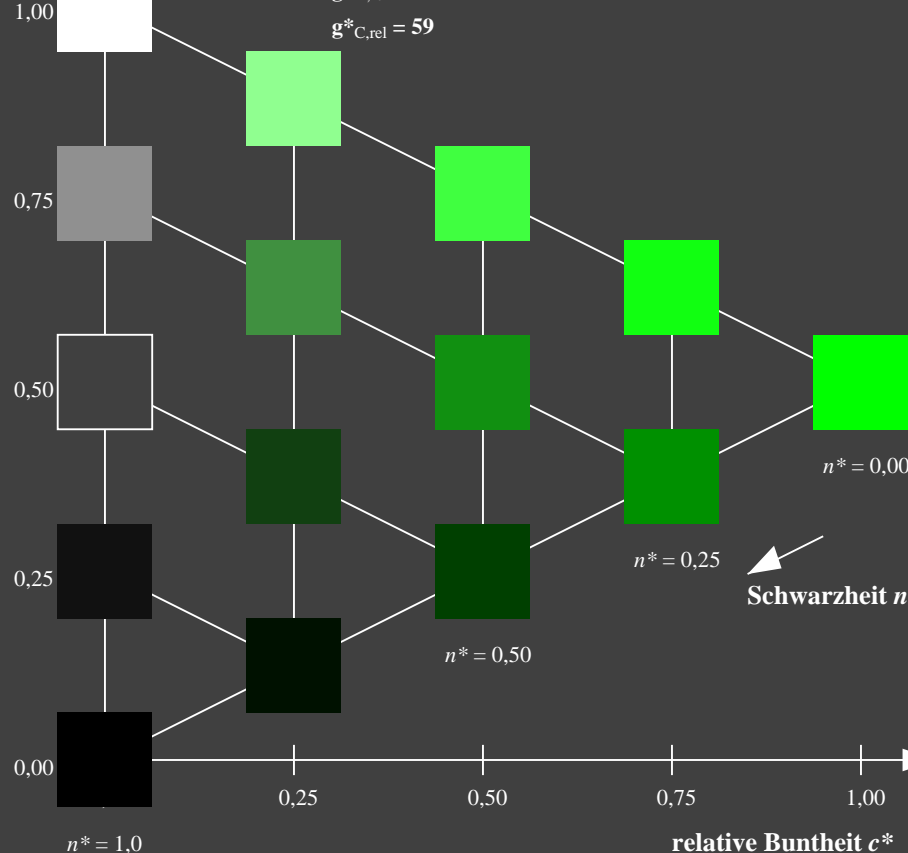
%Umfang

$u^*_{rel} = 93$

%Regularität

$g^*_{H,rel} = 57$

$g^*_{C,rel} = 59$

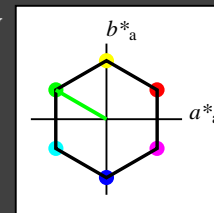


NG220-7, 5 stufige Reihen für konstanten CIELAB Buntton 151/360 = 0.419 (links)

### Ausgabe: Farbmimetrisches Standard-Reflektiv-System SRS18

für Buntton  $h^* = lab^*h = 150/360 = 0.417$   
 $LAB^*LCH$ ,  $LAB^*NCH$

D65: Buntton L  
LCH\*Ma: 57 77 150  
olv\*Ma: 0.0 1.0 0.0



SRS18; adaptierte CIELAB-Daten					
	$L^*=L^*_a$	$a^*_a$	$b^*_a$	$C^*_{ab,a}$	$h^*_{ab,a}$
O <sub>m</sub>	56.71	67.03	38.7	77.4	30
Y <sub>m</sub>	56.71	0.0	77.4	77.4	90
L <sub>m</sub>	56.71	-67.02	38.7	77.4	150
C <sub>m</sub>	56.71	-67.02	-38.69	77.4	210
V <sub>m</sub>	56.71	0.0	-77.39	77.4	270
M <sub>m</sub>	56.71	67.03	-38.69	77.4	330
N <sub>m</sub>	18.01	0.0	0.0	0.0	0
W <sub>m</sub>	95.41	0.0	0.0	0.0	0
R <sub>CIE</sub>	39.92	58.74	27.99	65.07	25
J <sub>CIE</sub>	81.26	-2.88	71.56	71.62	92
G <sub>CIE</sub>	52.23	-42.41	13.6	44.55	162
B <sub>CIE</sub>	30.57	1.41	-46.46	46.49	272

CIELAB-Helligkeit  $L^*$

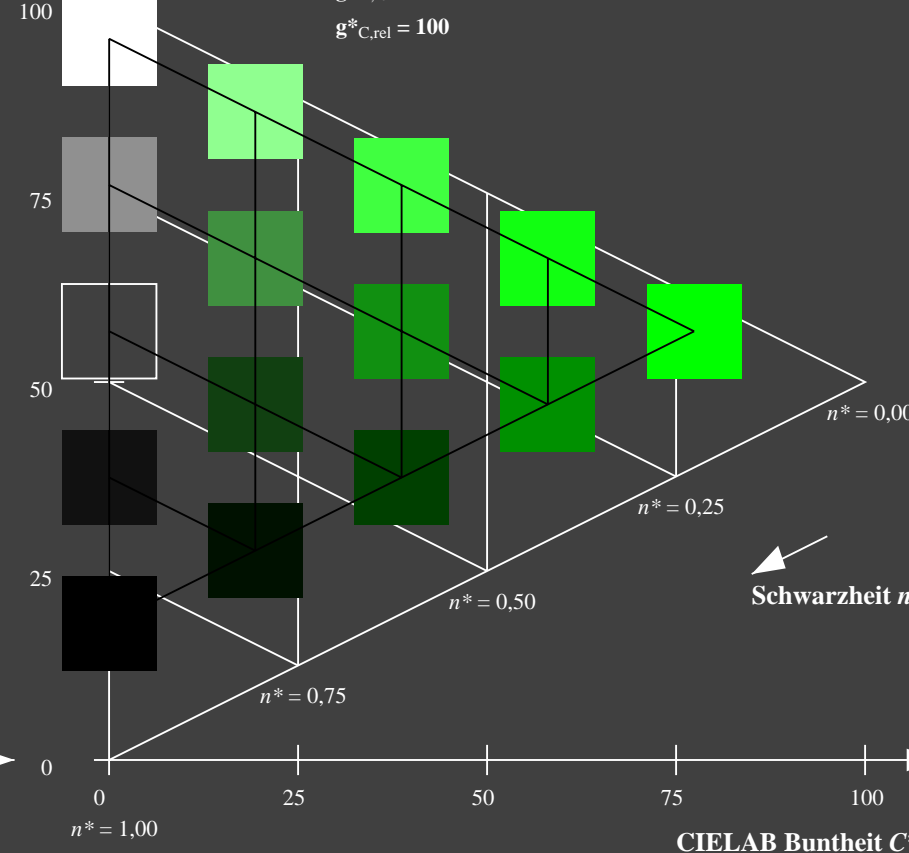
%Umfang

$u^*_{rel} = 100$

%Regularität

$g^*_{H,rel} = 100$

$g^*_{C,rel} = 100$



5 stufige Reihen für konstanten CIELAB Buntton 150/360 = 0.417 (rechts)

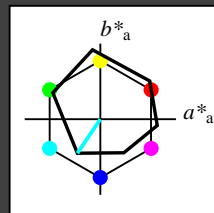
BAM-Prüfvorlage NG22; Farbmimetrik-Systeme ORS18 & SRS18 input:  $olv^*setrgbcolor$

D65: Koordinatensysteme; 5stufige Farbreihen für 10 Bunttöne output:  $olv^*setrgbcolor / w^*setgray$

### Eingabe: Farbmétrisches Offset-Reflektiv-System ORS18

für Buntton  $h^* = lab^*h = 236/360 = 0.656$   
 $lab^*tch$  und  $lab^*nch$

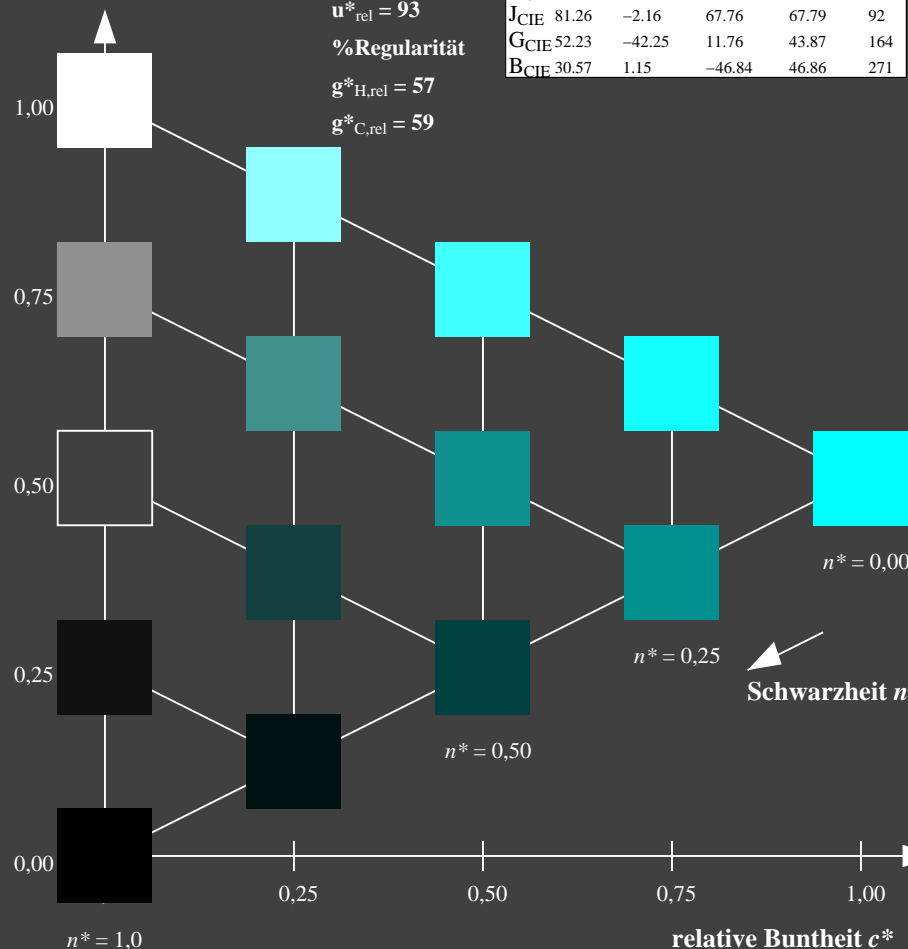
D65: Buntton C  
LCH\*Ma: 59 54 236  
olv\*Ma: 0.0 1.0 1.0



ORS18; adaptierte CIELAB-Daten					
	$L^*=L^*_a$	$a^*_a$	$b^*_a$	$C^*_{ab,a}$	$h^*_{ab,a}$
O <sub>m</sub>	47.94	65.39	50.52	82.63	38
Y <sub>m</sub>	90.37	-10.26	91.75	92.32	96
L <sub>m</sub>	50.9	-62.83	34.96	71.91	151
C <sub>m</sub>	58.62	-30.34	-45.01	54.3	236
V <sub>m</sub>	25.72	31.1	-44.4	54.22	305
M <sub>m</sub>	48.13	75.28	-8.36	75.74	354
N <sub>m</sub>	18.01	0.0	0.0	0.0	0
W <sub>m</sub>	95.41	0.0	0.0	0.0	0
R <sub>CIE</sub>	39.92	58.66	26.98	64.57	25
J <sub>CIE</sub>	81.26	-2.16	67.76	67.79	92
G <sub>CIE</sub>	52.23	-42.25	11.76	43.87	164
B <sub>CIE</sub>	30.57	1.15	-46.84	46.86	271

Dreiecks-Helligkeit  $t^*$

%Umfang  
 $u^*_{rel} = 93$   
%Regularität  
 $g^*_{H,rel} = 57$   
 $g^*_{C,rel} = 59$

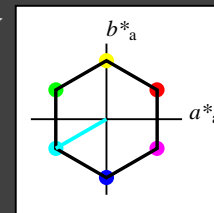


NG220-7, 5 stufige Reihen für konstanten CIELAB Buntton 236/360 = 0.656 (links)

### Ausgabe: Farbmétrisches Standard-Reflektiv-System SRS18

für Buntton  $h^* = lab^*h = 210/360 = 0.583$   
 $LAB^*LCH$ ,  $LAB^*NCH$

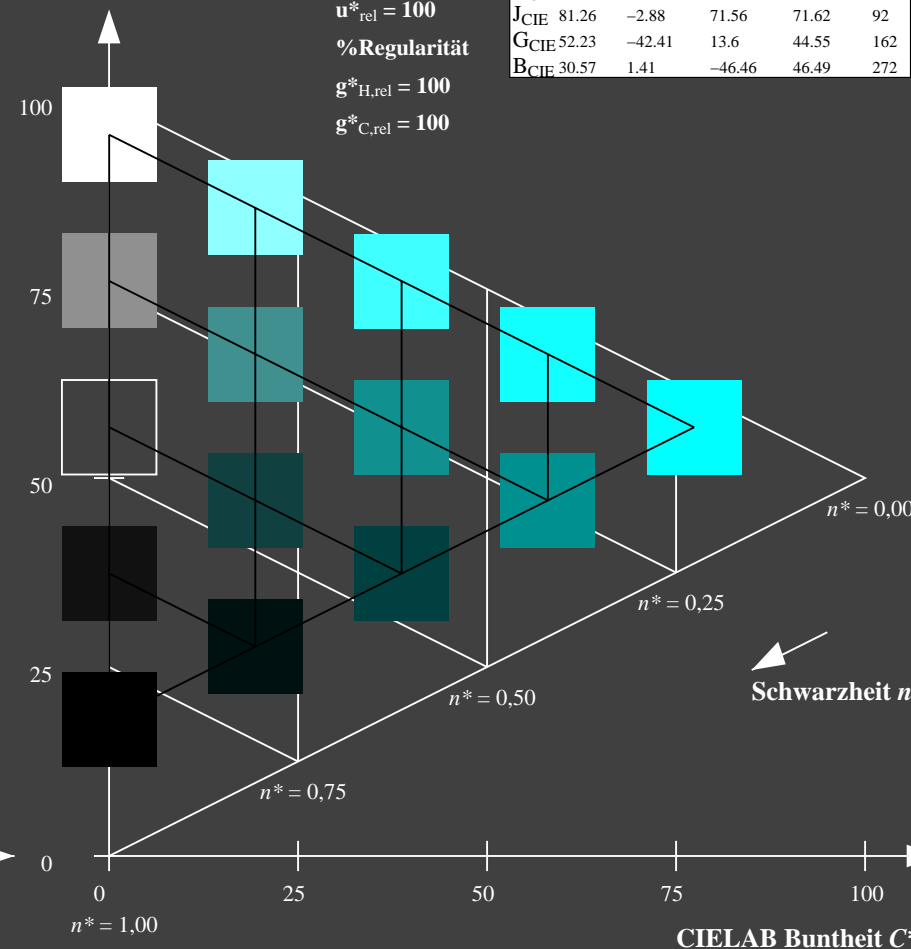
D65: Buntton C  
LCH\*Ma: 57 77 210  
olv\*Ma: 0.0 1.0 1.0



SRS18; adaptierte CIELAB-Daten					
	$L^*=L^*_a$	$a^*_a$	$b^*_a$	$C^*_{ab,a}$	$h^*_{ab,a}$
O <sub>m</sub>	56.71	67.03	38.7	77.4	30
Y <sub>m</sub>	56.71	0.0	77.4	77.4	90
L <sub>m</sub>	56.71	-67.02	38.7	77.4	150
C <sub>m</sub>	56.71	-67.02	-38.69	77.4	210
V <sub>m</sub>	56.71	0.0	-77.39	77.4	270
M <sub>m</sub>	56.71	67.03	-38.69	77.4	330
N <sub>m</sub>	18.01	0.0	0.0	0.0	0
W <sub>m</sub>	95.41	0.0	0.0	0.0	0
R <sub>CIE</sub>	39.92	58.74	27.99	65.07	25
J <sub>CIE</sub>	81.26	-2.88	71.56	71.62	92
G <sub>CIE</sub>	52.23	-42.41	13.6	44.55	162
B <sub>CIE</sub>	30.57	1.41	-46.46	46.49	272

CIELAB-Helligkeit  $L^*$

%Umfang  
 $u^*_{rel} = 100$   
%Regularität  
 $g^*_{H,rel} = 100$   
 $g^*_{C,rel} = 100$



5 stufige Reihen für konstanten CIELAB Buntton 210/360 = 0.583 (rechts)

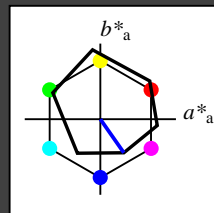
BAM-Prüfvorlage NG22; Farbmétrik-Systeme ORS18 & SRS18 input:  $olv^*setrgbcolor$

D65: Koordinatensysteme; 5stufige Farbreihen für 10 Bunttöne output:  $olv^*setrgbcolor / w^*setgray$

### Eingabe: Farbmétrisches Offset-Reflektiv-System ORS18

für Buntton  $h^* = lab^*h = 305/360 = 0.847$   
 $lab^*tch$  und  $lab^*nch$

D65: Buntton V  
LCH\*Ma: 26 54 305  
olv\*Ma: 0.0 0.0 1.0



ORS18; adaptierte CIELAB-Daten					
	$L^*=L^*_a$	$a^*_a$	$b^*_a$	$C^*_{ab,a}$	$h^*_{ab,a}$
O <sub>m</sub>	47.94	65.39	50.52	82.63	38
Y <sub>m</sub>	90.37	-10.26	91.75	92.32	96
L <sub>m</sub>	50.9	-62.83	34.96	71.91	151
C <sub>m</sub>	58.62	-30.34	-45.01	54.3	236
V <sub>m</sub>	25.72	31.1	-44.4	54.22	305
M <sub>m</sub>	48.13	75.28	-8.36	75.74	354
N <sub>m</sub>	18.01	0.0	0.0	0.0	0
W <sub>m</sub>	95.41	0.0	0.0	0.0	0
R <sub>CIE</sub>	39.92	58.66	26.98	64.57	25
J <sub>CIE</sub>	81.26	-2.16	67.76	67.79	92
G <sub>CIE</sub>	52.23	-42.25	11.76	43.87	164
B <sub>CIE</sub>	30.57	1.15	-46.84	46.86	271

Dreiecks-Helligkeit  $t^*$

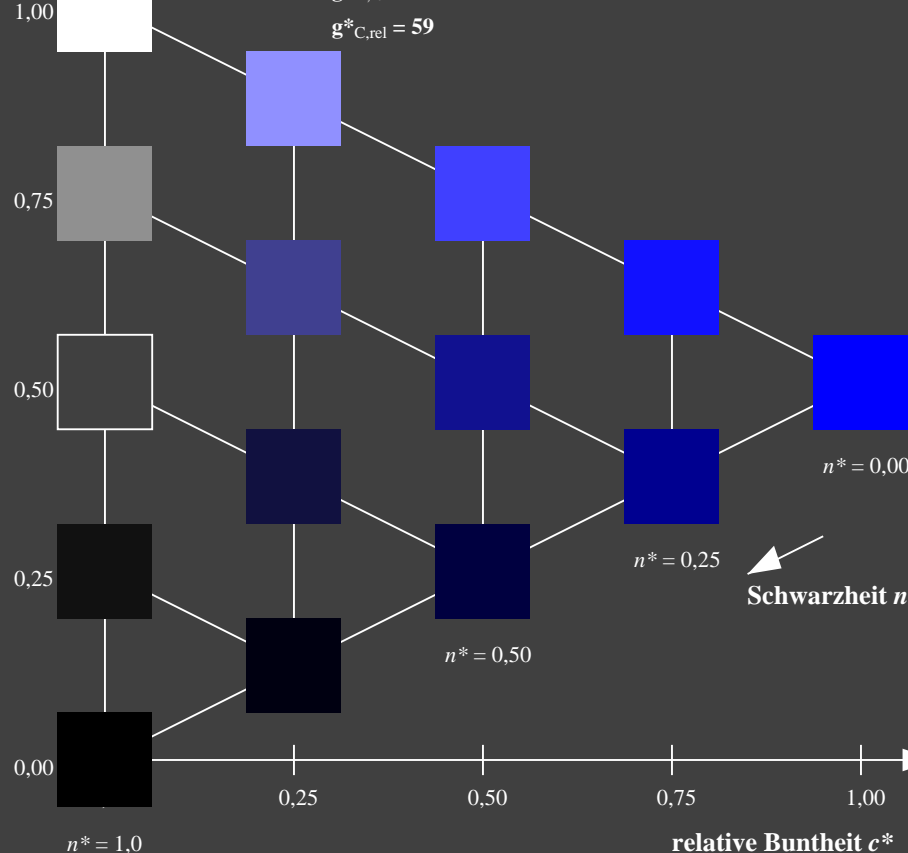
%Umfang

$u^*_{rel} = 93$

%Regularität

$g^*_{H,rel} = 57$

$g^*_{C,rel} = 59$

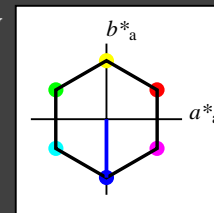


NG220-7, 5 stufige Reihen für konstanten CIELAB Buntton 305/360 = 0.847 (links)

### Ausgabe: Farbmétrisches Standard-Reflektiv-System SRS18

für Buntton  $h^* = lab^*h = 270/360 = 0.75$   
 $LAB^*LCH$ ,  $LAB^*NCH$

D65: Buntton V  
LCH\*Ma: 57 77 270  
olv\*Ma: 0.0 0.0 1.0



SRS18; adaptierte CIELAB-Daten					
	$L^*=L^*_a$	$a^*_a$	$b^*_a$	$C^*_{ab,a}$	$h^*_{ab,a}$
O <sub>m</sub>	56.71	67.03	38.7	77.4	30
Y <sub>m</sub>	56.71	0.0	77.4	77.4	90
L <sub>m</sub>	56.71	-67.02	38.7	77.4	150
C <sub>m</sub>	56.71	-67.02	-38.69	77.4	210
V <sub>m</sub>	56.71	0.0	-77.39	77.4	270
M <sub>m</sub>	56.71	67.03	-38.69	77.4	330
N <sub>m</sub>	18.01	0.0	0.0	0.0	0
W <sub>m</sub>	95.41	0.0	0.0	0.0	0
R <sub>CIE</sub>	39.92	58.74	27.99	65.07	25
J <sub>CIE</sub>	81.26	-2.88	71.56	71.62	92
G <sub>CIE</sub>	52.23	-42.41	13.6	44.55	162
B <sub>CIE</sub>	30.57	1.41	-46.46	46.49	272

CIELAB-Helligkeit  $L^*$

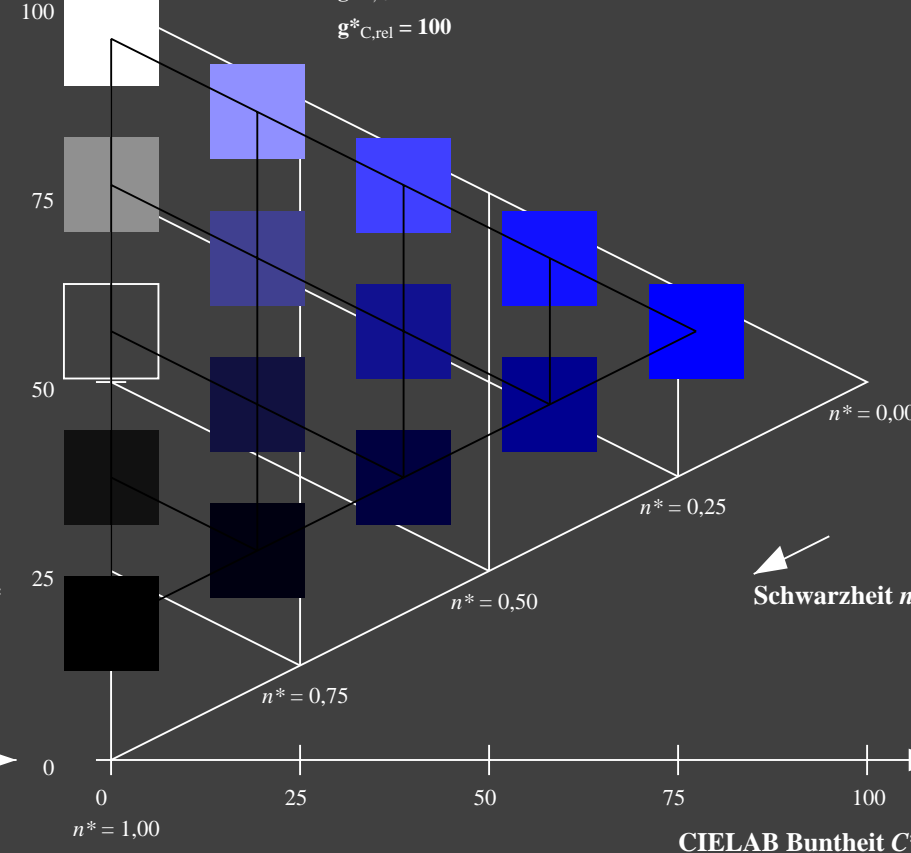
%Umfang

$u^*_{rel} = 100$

%Regularität

$g^*_{H,rel} = 100$

$g^*_{C,rel} = 100$



5 stufige Reihen für konstanten CIELAB Buntton 270/360 = 0.75 (rechts)

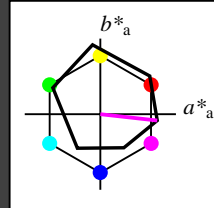
BAM-Prüfvorlage NG22; Farbmétrik-Systeme ORS18 & SRS18 input:  $olv^*setrgbcolor$

D65: Koordinatensysteme; 5stufige Farbreihen für 10 Bunttöne output:  $olv^*setrgbcolor / w^*setgray$

### Eingabe: Farbmétrisches Offset-Reflektiv-System ORS18

für Buntton  $h^* = lab^*h = 354/360 = 0.982$   
 $lab^*tch$  und  $lab^*nch$

D65: Buntton M  
LCH\*Ma: 48 76 354  
olv\*Ma: 1.0 0.0 1.0



ORS18; adaptierte CIELAB-Daten					
	$L^*=L^*_a$	$a^*_a$	$b^*_a$	$C^*_{ab,a}$	$h^*_{ab,a}$
O <sub>m</sub>	47.94	65.39	50.52	82.63	38
Y <sub>m</sub>	90.37	-10.26	91.75	92.32	96
L <sub>m</sub>	50.9	-62.83	34.96	71.91	151
C <sub>m</sub>	58.62	-30.34	-45.01	54.3	236
V <sub>m</sub>	25.72	31.1	-44.4	54.22	305
M <sub>m</sub>	48.13	75.28	-8.36	75.74	354
N <sub>m</sub>	18.01	0.0	0.0	0.0	0
W <sub>m</sub>	95.41	0.0	0.0	0.0	0
R <sub>CIE</sub>	39.92	58.66	26.98	64.57	25
J <sub>CIE</sub>	81.26	-2.16	67.76	67.79	92
G <sub>CIE</sub>	52.23	-42.25	11.76	43.87	164
B <sub>CIE</sub>	30.57	1.15	-46.84	46.86	271

Dreiecks-Helligkeit  $t^*$

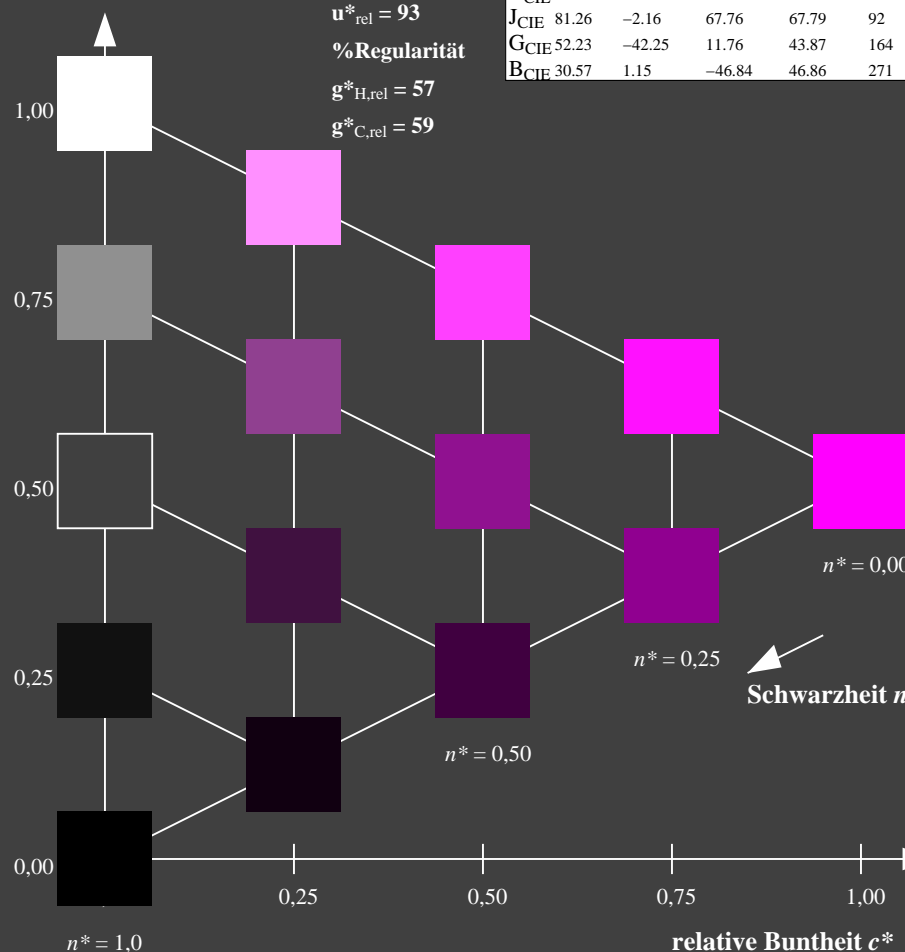
%Umfang

$u^*_{rel} = 93$

%Regularität

$g^*_{H,rel} = 57$

$g^*_{C,rel} = 59$

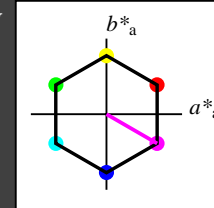


NG22-7, 5 stufige Reihen für konstanten CIELAB Buntton 354/360 = 0.982 (links)

### Ausgabe: Farbmétrisches Standard-Reflektiv-System SRS18

für Buntton  $h^* = lab^*h = 330/360 = 0.917$   
 $LAB^*LCH$ ,  $LAB^*NCH$

D65: Buntton M  
LCH\*Ma: 57 77 330  
olv\*Ma: 1.0 0.0 1.0



SRS18; adaptierte CIELAB-Daten					
	$L^*=L^*_a$	$a^*_a$	$b^*_a$	$C^*_{ab,a}$	$h^*_{ab,a}$
O <sub>m</sub>	56.71	67.03	38.7	77.4	30
Y <sub>m</sub>	56.71	0.0	77.4	77.4	90
L <sub>m</sub>	56.71	-67.02	38.7	77.4	150
C <sub>m</sub>	56.71	-67.02	-38.69	77.4	210
V <sub>m</sub>	56.71	0.0	-77.39	77.4	270
M <sub>m</sub>	56.71	67.03	-38.69	77.4	330
N <sub>m</sub>	18.01	0.0	0.0	0.0	0
W <sub>m</sub>	95.41	0.0	0.0	0.0	0
R <sub>CIE</sub>	39.92	58.74	27.99	65.07	25
J <sub>CIE</sub>	81.26	-2.88	71.56	71.62	92
G <sub>CIE</sub>	52.23	-42.41	13.6	44.55	162
B <sub>CIE</sub>	30.57	1.41	-46.46	46.49	272

CIELAB-Helligkeit  $L^*$

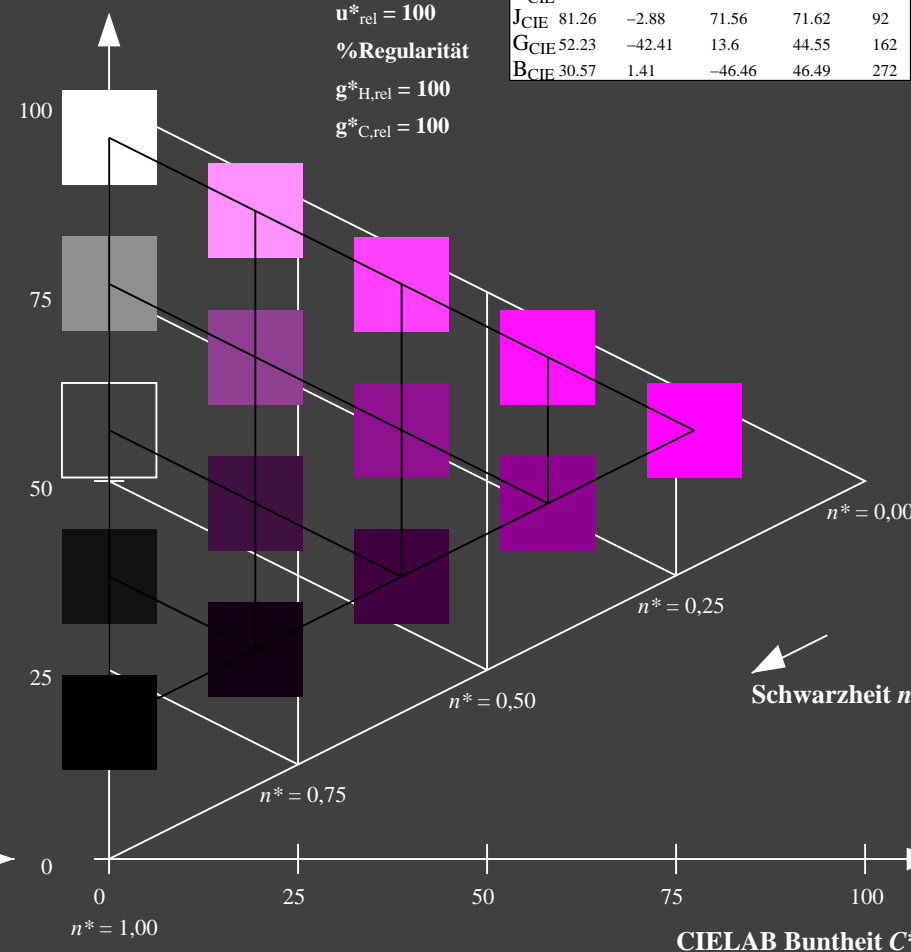
%Umfang

$u^*_{rel} = 100$

%Regularität

$g^*_{H,rel} = 100$

$g^*_{C,rel} = 100$



5 stufige Reihen für konstanten CIELAB Buntton 330/360 = 0.917 (rechts)

BAM-Prüfvorlage NG22; Farbmétrik-Systeme ORS18 & SRS18 input:  $olv^*setrgbcolor$

D65: Koordinatensysteme; 5stufige Farbreihen für 10 Bunttöne output:  $olv^*setrgbcolor / w^*setgray$

### Eingabe: Farbmimetrisches Offset-Reflektiv-System ORS18

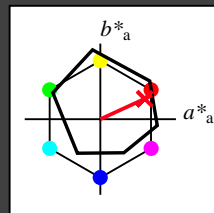
für Buntton  $h^* = lab^*h = 25/360 = 0.069$

$lab^*tch$  und  $lab^*nch$

D65: Buntton R

LCH\*Ma: 48 75 25

olv\*Ma: 1.0 0.0 0.32



### ORS18; adaptierte CIELAB-Daten

	$L^*=L^*_a$	$a^*_a$	$b^*_a$	$C^*_{ab,a}$	$h^*_{ab,a}$
O <sub>m</sub>	47.94	65.39	50.52	82.63	38
Y <sub>m</sub>	90.37	-10.26	91.75	92.32	96
L <sub>m</sub>	50.9	-62.83	34.96	71.91	151
C <sub>m</sub>	58.62	-30.34	-45.01	54.3	236
V <sub>m</sub>	25.72	31.1	-44.4	54.22	305
M <sub>m</sub>	48.13	75.28	-8.36	75.74	354
N <sub>m</sub>	18.01	0.0	0.0	0.0	0
W <sub>m</sub>	95.41	0.0	0.0	0.0	0
R <sub>m</sub>	39.92	58.66	26.98	64.57	25
J <sub>m</sub>	81.26	-2.16	67.76	67.79	92
G <sub>m</sub>	52.23	-42.25	11.76	43.87	164
B <sub>m</sub>	30.57	1.15	-46.84	46.86	271

Dreiecks-Helligkeit  $t^*$

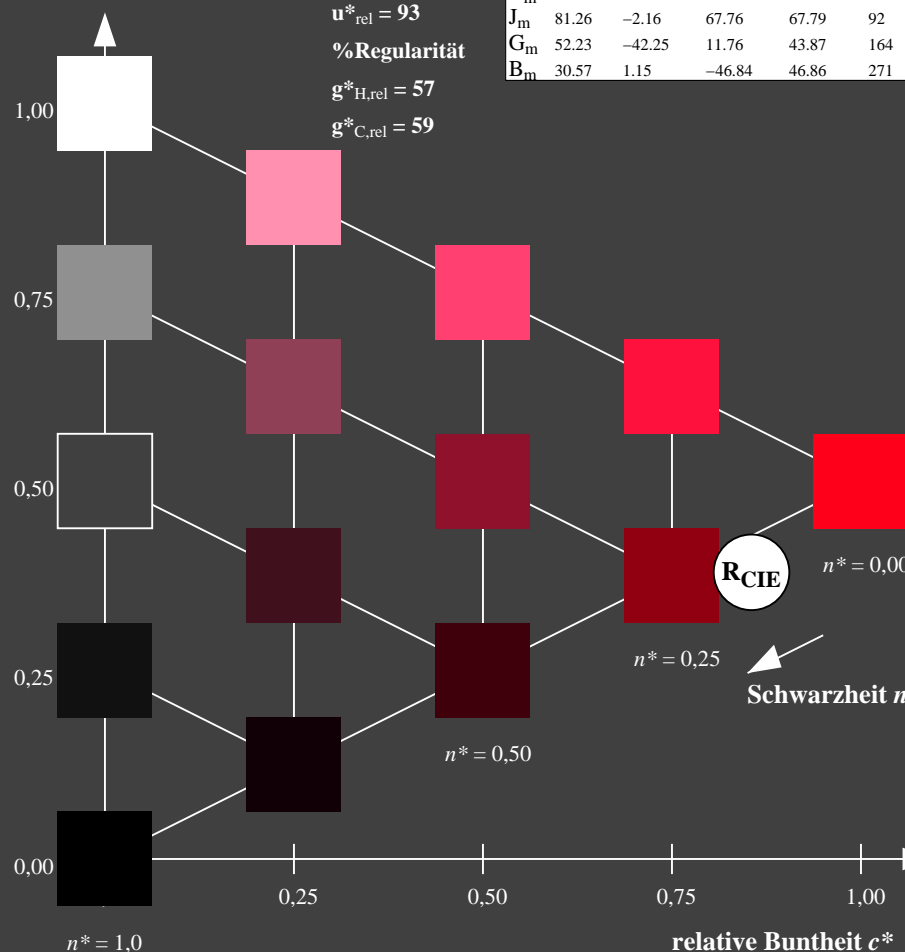
%Umfang

$u^*_{rel} = 93$

%Regularität

$g^*_{H,rel} = 57$

$g^*_{C,rel} = 59$



NG220-7, 5 stufige Reihen für konstanten CIELAB Buntton 25/360 = 0.069 (links)

### Ausgabe: Farbmimetrisches Standard-Reflektiv-System SRS18

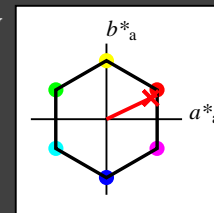
für Buntton  $h^* = lab^*h = 25/360 = 0.071$

$LAB^*LCH$ ,  $LAB^*NCH$

D65: Buntton R

LCH\*Ma: 57 74 25

olv\*Ma: 1.0 0.0 0.09



### SRS18; adaptierte CIELAB-Daten

	$L^*=L^*_a$	$a^*_a$	$b^*_a$	$C^*_{ab,a}$	$h^*_{ab,a}$
O <sub>m</sub>	56.71	67.03	38.7	77.4	30
Y <sub>m</sub>	56.71	0.0	77.4	77.4	90
L <sub>m</sub>	56.71	-67.02	38.7	77.4	150
C <sub>m</sub>	56.71	-67.02	-38.69	77.4	210
V <sub>m</sub>	56.71	0.0	-77.39	77.4	270
M <sub>m</sub>	56.71	67.03	-38.69	77.4	330
N <sub>m</sub>	18.01	0.0	0.0	0.0	0
W <sub>m</sub>	95.41	0.0	0.0	0.0	0
R <sub>m</sub>	39.92	58.74	27.99	65.07	25
J <sub>m</sub>	81.26	-2.88	71.56	71.62	92
G <sub>m</sub>	52.23	-42.41	13.6	44.55	162
B <sub>m</sub>	30.57	1.41	-46.46	46.49	272

CIELAB-Helligkeit  $L^*$

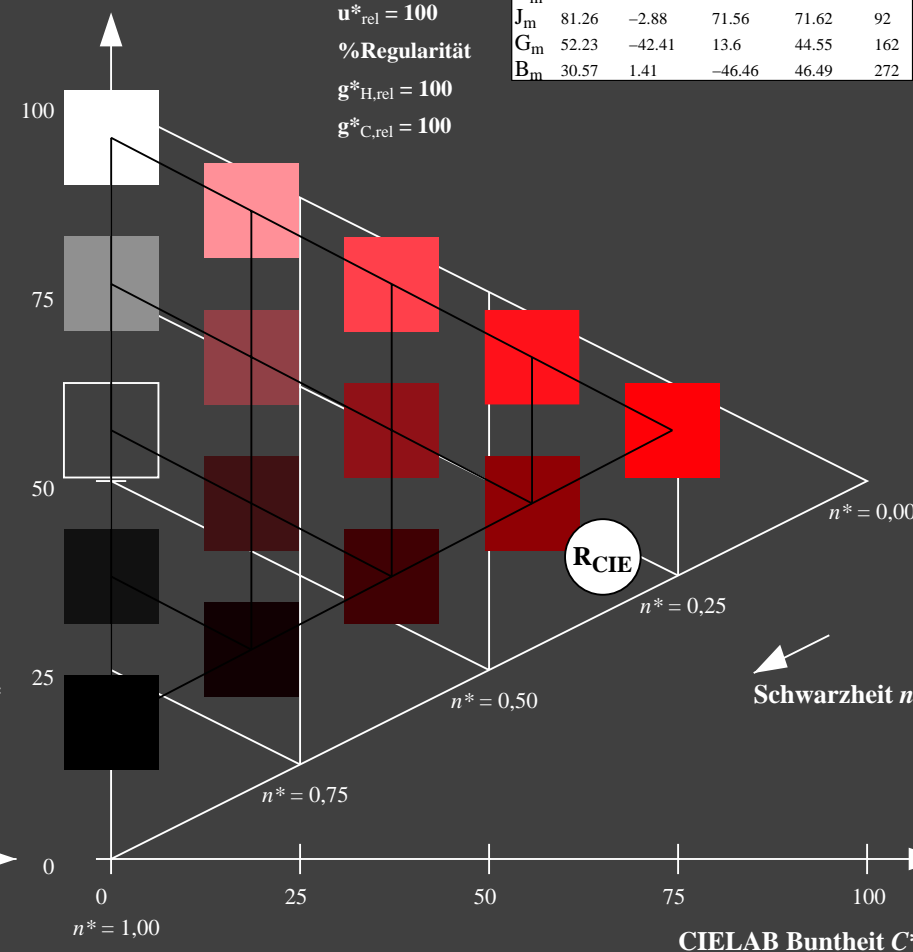
%Umfang

$u^*_{rel} = 100$

%Regularität

$g^*_{H,rel} = 100$

$g^*_{C,rel} = 100$



5 stufige Reihen für konstanten CIELAB Buntton 25/360 = 0.071 (rechts)

BAM-Prüfvorlage NG22; Farbmimetrik-Systeme ORS18 & SRS18 input:  $olv^*setrgbcolor$

D65: Koordinatensysteme; 5stufige Farbreihen für 10 Bunttöne output:  $olv^*setrgbcolor / w^*setgray$



### Eingabe: Farbmétrisches Offset-Reflektiv-System ORS18

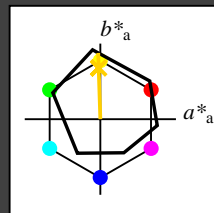
für Buntton  $h^* = lab \cdot h = 92/360 = 0.255$

$lab \cdot tch$  und  $lab \cdot nch$

D65: Buntton J

LCH\*Ma: 86 88 92

olv\*Ma: 1.0 0.9 0.0



#### ORS18; adaptierte CIELAB-Daten

	$L^*=L^*_a$	$a^*_a$	$b^*_a$	$C^*_{ab,a}$	$h^*_{ab,a}$
O <sub>m</sub>	47.94	65.39	50.52	82.63	38
Y <sub>m</sub>	90.37	-10.26	91.75	92.32	96
L <sub>m</sub>	50.9	-62.83	34.96	71.91	151
C <sub>m</sub>	58.62	-30.34	-45.01	54.3	236
V <sub>m</sub>	25.72	31.1	-44.4	54.22	305
M <sub>m</sub>	48.13	75.28	-8.36	75.74	354
N <sub>m</sub>	18.01	0.0	0.0	0.0	0
W <sub>m</sub>	95.41	0.0	0.0	0.0	0
R <sub>m</sub>	39.92	58.66	26.98	64.57	25
J <sub>m</sub>	81.26	-2.16	67.76	67.79	92
G <sub>m</sub>	52.23	-42.25	11.76	43.87	164
B <sub>m</sub>	30.57	1.15	-46.84	46.86	271

Dreiecks-Helligkeit  $t^*$

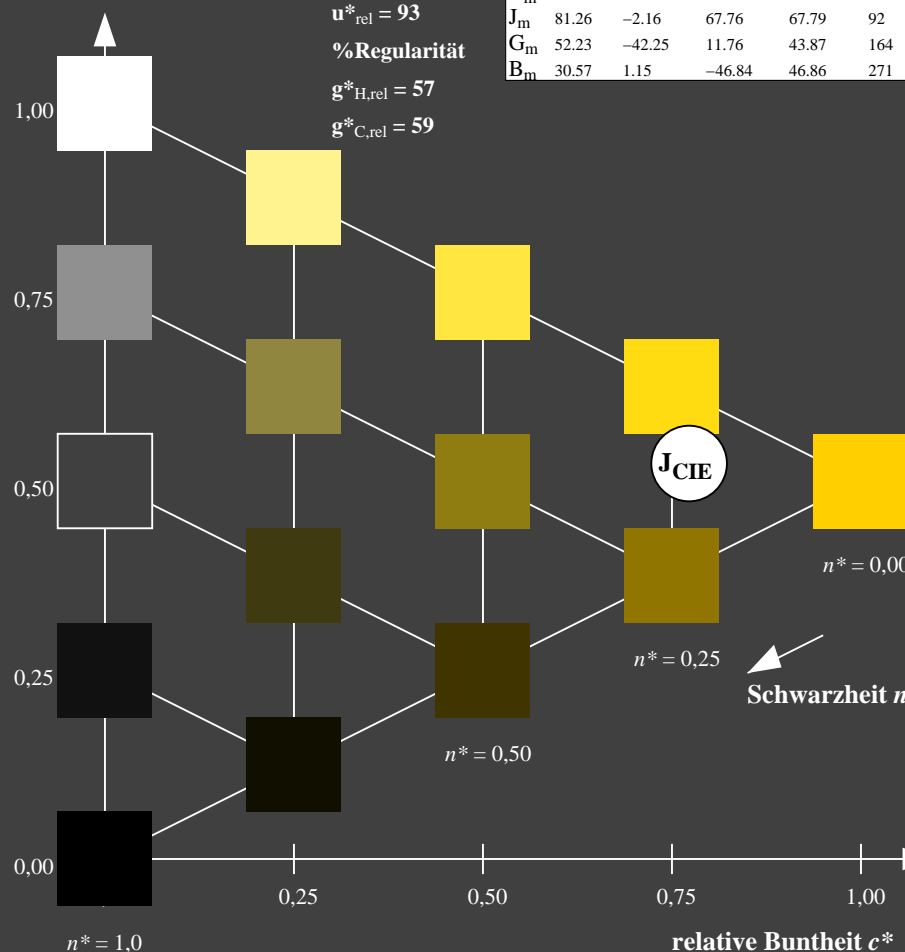
%Umfang

$u^*_{rel} = 93$

%Regularität

$g^*_{H,rel} = 57$

$g^*_{C,rel} = 59$



NG220-7, 5 stufige Reihen für konstanten CIELAB Buntton 92/360 = 0.255 (links)

### Ausgabe: Farbmétrisches Standard-Reflektiv-System SRS18

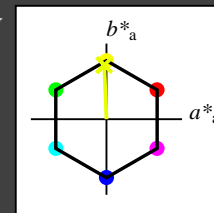
für Buntton  $h^* = lab \cdot h = 92/360 = 0.256$

$LAB \cdot LCH$ ,  $LAB \cdot NCH$

D65: Buntton J

LCH\*Ma: 57 76 92

olv\*Ma: 0.95 1.0 0.0



#### SRS18; adaptierte CIELAB-Daten

	$L^*=L^*_a$	$a^*_a$	$b^*_a$	$C^*_{ab,a}$	$h^*_{ab,a}$
O <sub>m</sub>	56.71	67.03	38.7	77.4	30
Y <sub>m</sub>	56.71	0.0	77.4	77.4	90
L <sub>m</sub>	56.71	-67.02	38.7	77.4	150
C <sub>m</sub>	56.71	-67.02	-38.69	77.4	210
V <sub>m</sub>	56.71	0.0	-77.39	77.4	270
M <sub>m</sub>	56.71	67.03	-38.69	77.4	330
N <sub>m</sub>	18.01	0.0	0.0	0.0	0
W <sub>m</sub>	95.41	0.0	0.0	0.0	0
R <sub>m</sub>	39.92	58.74	27.99	65.07	25
J <sub>m</sub>	81.26	-2.88	71.56	71.62	92
G <sub>m</sub>	52.23	-42.41	13.6	44.55	162
B <sub>m</sub>	30.57	1.41	-46.46	46.49	272

CIELAB-Helligkeit  $L^*$

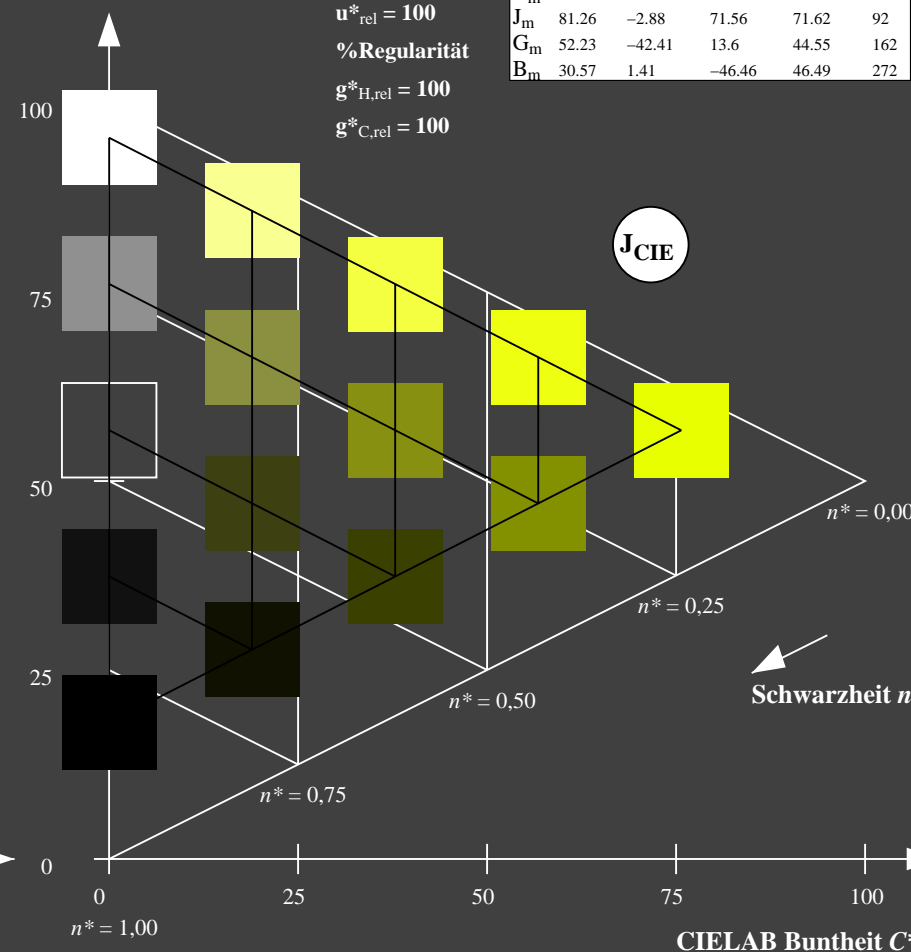
%Umfang

$u^*_{rel} = 100$

%Regularität

$g^*_{H,rel} = 100$

$g^*_{C,rel} = 100$



5 stufige Reihen für konstanten CIELAB Buntton 92/360 = 0.256 (rechts)

BAM-Prüfvorlage NG22; Farbmétrik-Systeme ORS18 & SRS18 input:  $olv \cdot setrgbcolor$

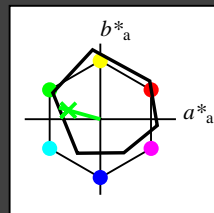
D65: Koordinatensysteme; 5stufige Farbreihen für 10 Bunttöne output:  $olv \cdot setrgbcolor / w \cdot setgray$



### Eingabe: Farbmétrisches Offset-Reflektiv-System ORS18

für Buntton  $h^* = lab^*h = 164/360 = 0.457$   
 $lab^*tch$  und  $lab^*nch$

D65: Buntton G  
LCH\*Ma: 53 57 164  
olv\*Ma: 0.0 1.0 0.25



ORS18; adaptierte CIELAB-Daten					
	$L^*=L^*_a$	$a^*_a$	$b^*_a$	$C^*_{ab,a}$	$h^*_{ab,a}$
O <sub>m</sub>	47.94	65.39	50.52	82.63	38
Y <sub>m</sub>	90.37	-10.26	91.75	92.32	96
L <sub>m</sub>	50.9	-62.83	34.96	71.91	151
C <sub>m</sub>	58.62	-30.34	-45.01	54.3	236
V <sub>m</sub>	25.72	31.1	-44.4	54.22	305
M <sub>m</sub>	48.13	75.28	-8.36	75.74	354
N <sub>m</sub>	18.01	0.0	0.0	0.0	0
W <sub>m</sub>	95.41	0.0	0.0	0.0	0
R <sub>m</sub>	39.92	58.66	26.98	64.57	25
J <sub>m</sub>	81.26	-2.16	67.76	67.79	92
G <sub>m</sub>	52.23	-42.25	11.76	43.87	164
B <sub>m</sub>	30.57	1.15	-46.84	46.86	271

Dreiecks-Helligkeit  $t^*$

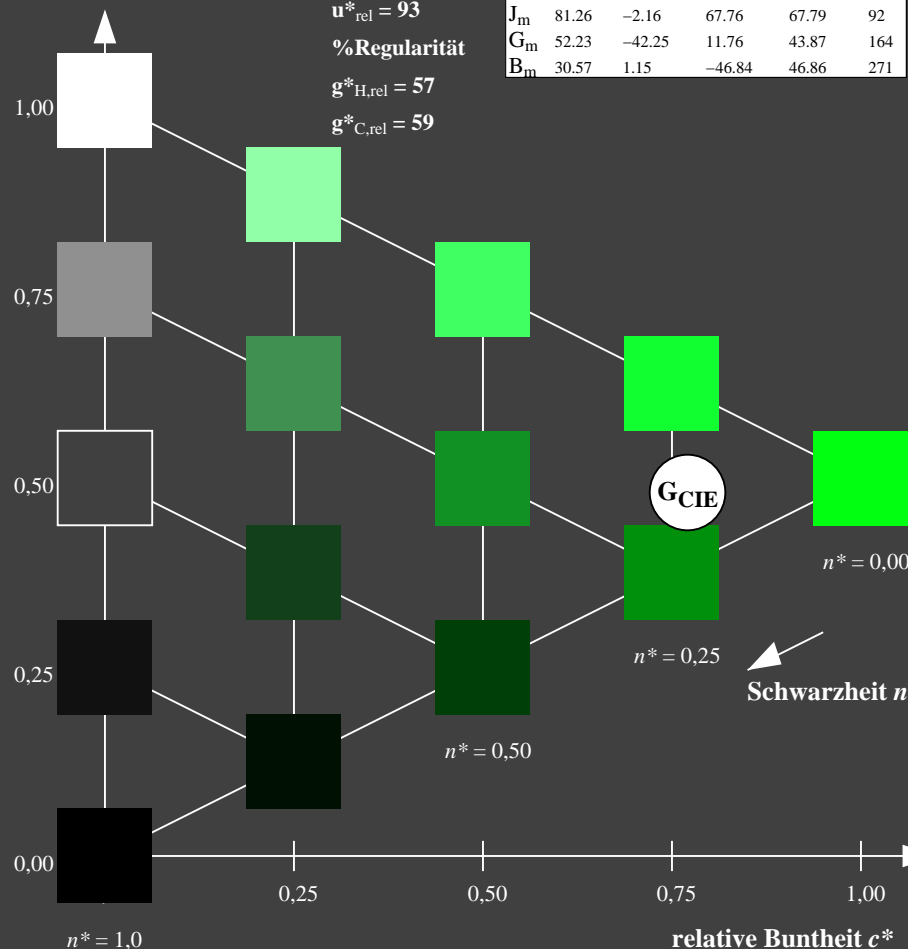
%Umfang

$u^*_{rel} = 93$

%Regularität

$g^*_{H,rel} = 57$

$g^*_{C,rel} = 59$

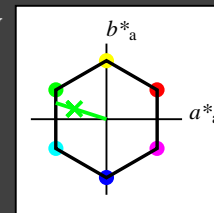


NG220-7, 5 stufige Reihen für konstanten CIELAB Buntton 164/360 = 0.457 (links)

### Ausgabe: Farbmétrisches Standard-Reflektiv-System SRS18

für Buntton  $h^* = lab^*h = 162/360 = 0.451$   
 $LAB^*LCH$ ,  $LAB^*NCH$

D65: Buntton G  
LCH\*Ma: 57 70 162  
olv\*Ma: 0.0 1.0 0.22



SRS18; adaptierte CIELAB-Daten					
	$L^*=L^*_a$	$a^*_a$	$b^*_a$	$C^*_{ab,a}$	$h^*_{ab,a}$
O <sub>m</sub>	56.71	67.03	38.7	77.4	30
Y <sub>m</sub>	56.71	0.0	77.4	77.4	90
L <sub>m</sub>	56.71	-67.02	38.7	77.4	150
C <sub>m</sub>	56.71	-67.02	-38.69	77.4	210
V <sub>m</sub>	56.71	0.0	-77.39	77.4	270
M <sub>m</sub>	56.71	67.03	-38.69	77.4	330
N <sub>m</sub>	18.01	0.0	0.0	0.0	0
W <sub>m</sub>	95.41	0.0	0.0	0.0	0
R <sub>m</sub>	39.92	58.74	27.99	65.07	25
J <sub>m</sub>	81.26	-2.88	71.56	71.62	92
G <sub>m</sub>	52.23	-42.41	13.6	44.55	162
B <sub>m</sub>	30.57	1.41	-46.46	46.49	272

CIELAB-Helligkeit  $L^*$

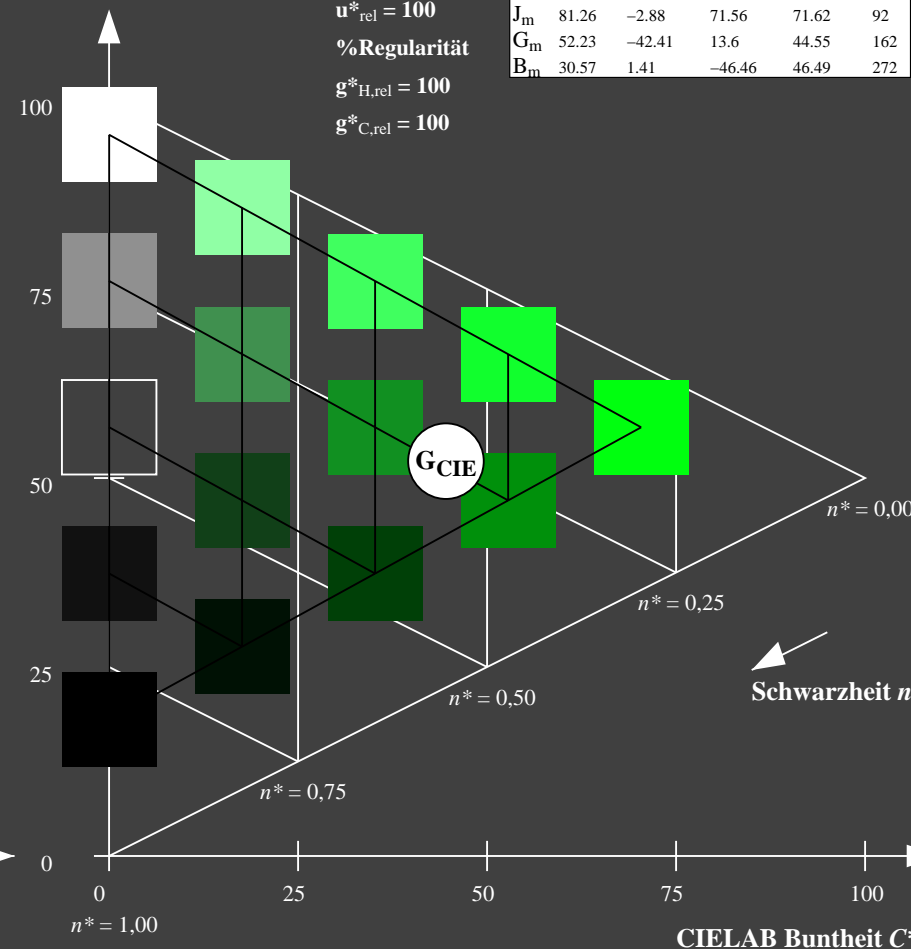
%Umfang

$u^*_{rel} = 100$

%Regularität

$g^*_{H,rel} = 100$

$g^*_{C,rel} = 100$



5 stufige Reihen für konstanten CIELAB Buntton 162/360 = 0.451 (rechts)

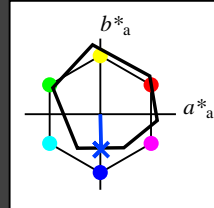
BAM-Prüfvorlage NG22; Farbmétrik-Systeme ORS18 & SRS18 input:  $olv^*setrgbcolor$

D65: Koordinatensysteme; 5stufige Farbreihen für 10 Bunttöne output:  $olv^*setrgbcolor / w^*setgray$

### Eingabe: Farbmétrisches Offset-Reflektiv-System ORS18

für Buntton  $h^* = lab \cdot h = 271/360 = 0.754$   
 $lab \cdot tch$  und  $lab \cdot nch$

D65: Buntton B  
LCH\*Ma: 42 45 271  
olv\*Ma: 0.0 0.49 1.0



ORS18; adaptierte CIELAB-Daten					
	$L^*=L^*_a$	$a^*_a$	$b^*_a$	$C^*_{ab,a}$	$h^*_{ab,a}$
O <sub>m</sub>	47.94	65.39	50.52	82.63	38
Y <sub>m</sub>	90.37	-10.26	91.75	92.32	96
L <sub>m</sub>	50.9	-62.83	34.96	71.91	151
C <sub>m</sub>	58.62	-30.34	-45.01	54.3	236
V <sub>m</sub>	25.72	31.1	-44.4	54.22	305
M <sub>m</sub>	48.13	75.28	-8.36	75.74	354
N <sub>m</sub>	18.01	0.0	0.0	0.0	0
W <sub>m</sub>	95.41	0.0	0.0	0.0	0
R <sub>m</sub>	39.92	58.66	26.98	64.57	25
J <sub>m</sub>	81.26	-2.16	67.76	67.79	92
G <sub>m</sub>	52.23	-42.25	11.76	43.87	164
B <sub>m</sub>	30.57	1.15	-46.84	46.86	271

Dreiecks-Helligkeit  $t^*$

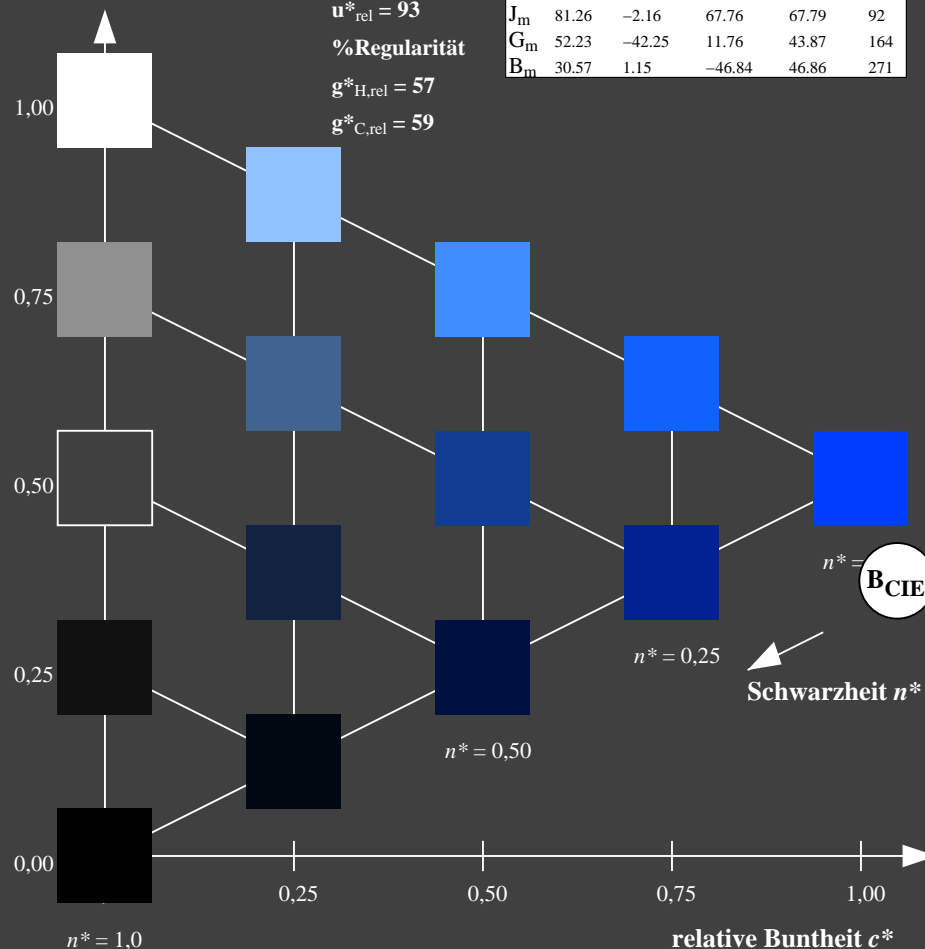
%Umfang

$u^*_{rel} = 93$

%Regularität

$g^*_{H,rel} = 57$

$g^*_{C,rel} = 59$

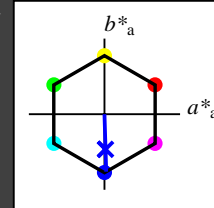


NG220-7, 5 stufige Reihen für konstanten CIELAB Buntton 271/360 = 0.754 (links)

### Ausgabe: Farbmétrisches Standard-Reflektiv-System SRS18

für Buntton  $h^* = lab \cdot h = 272/360 = 0.755$   
 $LAB \cdot LCH$ ,  $LAB \cdot NCH$

D65: Buntton B  
LCH\*Ma: 57 76 272  
olv\*Ma: 0.03 0.0 1.0



SRS18; adaptierte CIELAB-Daten					
	$L^*=L^*_a$	$a^*_a$	$b^*_a$	$C^*_{ab,a}$	$h^*_{ab,a}$
O <sub>m</sub>	56.71	67.03	38.7	77.4	30
Y <sub>m</sub>	56.71	0.0	77.4	77.4	90
L <sub>m</sub>	56.71	-67.02	38.7	77.4	150
C <sub>m</sub>	56.71	-67.02	-38.69	77.4	210
V <sub>m</sub>	56.71	0.0	-77.39	77.4	270
M <sub>m</sub>	56.71	67.03	-38.69	77.4	330
N <sub>m</sub>	18.01	0.0	0.0	0.0	0
W <sub>m</sub>	95.41	0.0	0.0	0.0	0
R <sub>m</sub>	39.92	58.74	27.99	65.07	25
J <sub>m</sub>	81.26	-2.88	71.56	71.62	92
G <sub>m</sub>	52.23	-42.41	13.6	44.55	162
B <sub>m</sub>	30.57	1.41	-46.46	46.49	272

CIELAB-Helligkeit  $L^*$

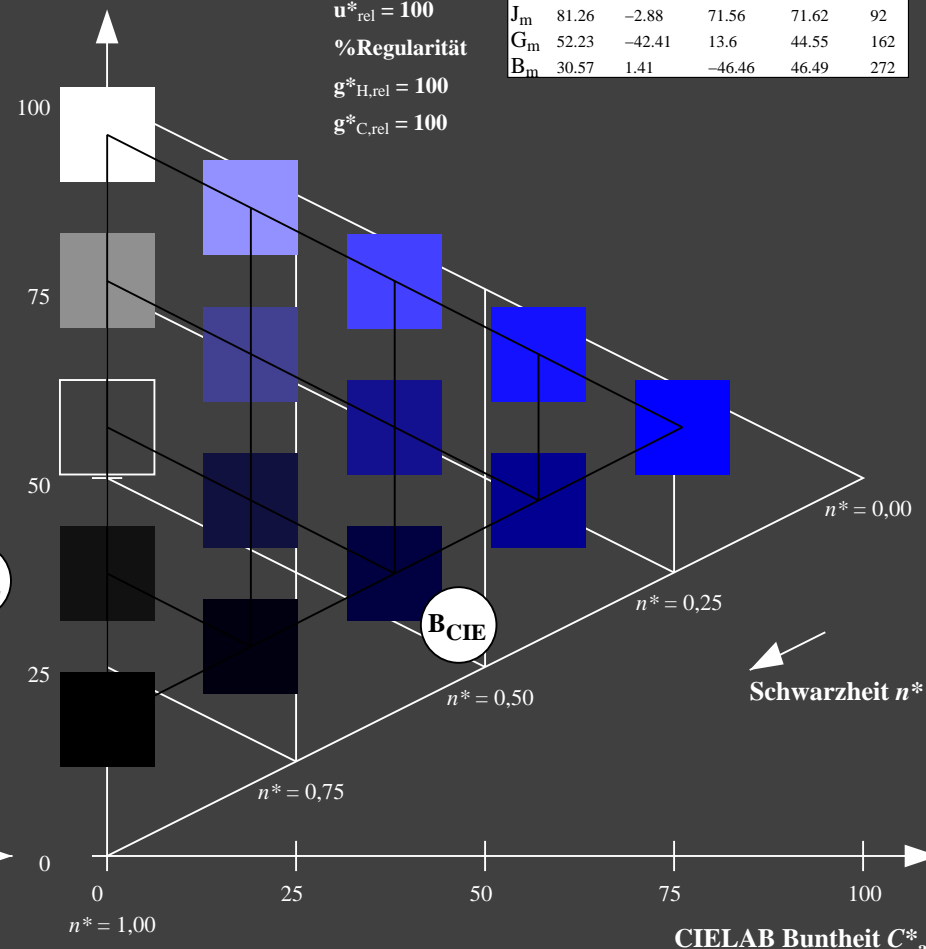
%Umfang

$u^*_{rel} = 100$

%Regularität

$g^*_{H,rel} = 100$

$g^*_{C,rel} = 100$



5 stufige Reihen für konstanten CIELAB Buntton 272/360 = 0.755 (rechts)

BAM-Prüfvorlage NG22; Farbmétrik-Systeme ORS18 & SRS18 input:  $olv \cdot setrgbcolor$

D65: Koordinatensysteme; 5stufige Farbreihen für 10 Bunttöne output:  $olv \cdot setrgbcolor / w \cdot setgray$